

01;07

## Моделирование ступенчатой поверхности рентгеновского дифрактора высокого разрешения

© М.И. Мазурицкий, Е.М. Латуш, А.В. Солдатов,  
Г.А. Угольницкий, В.Л. Ляшенко, А. Марчелли

Ростовский государственный университет

Поступило в Редакцию 18 января 2000 г.

Проведен систематический анализ трех возможных схем построения ступенчатого рентгеновского дифрактора высокого разрешения. В первой схеме все ступени имеют одинаковую угловую ширину, во второй схеме все ступени имеют одинаковую высоту — расстояние от края одной ступени до начала другой. В третьей схеме используется симметричный способ построения ступенек. В этом случае расстояние от края одной ступеньки до окружности фокусировки равно расстоянию от окружности фокусировки до начала следующей ступеньки. Показано, что наиболее устойчивые характеристики имеют первая и третья схемы.

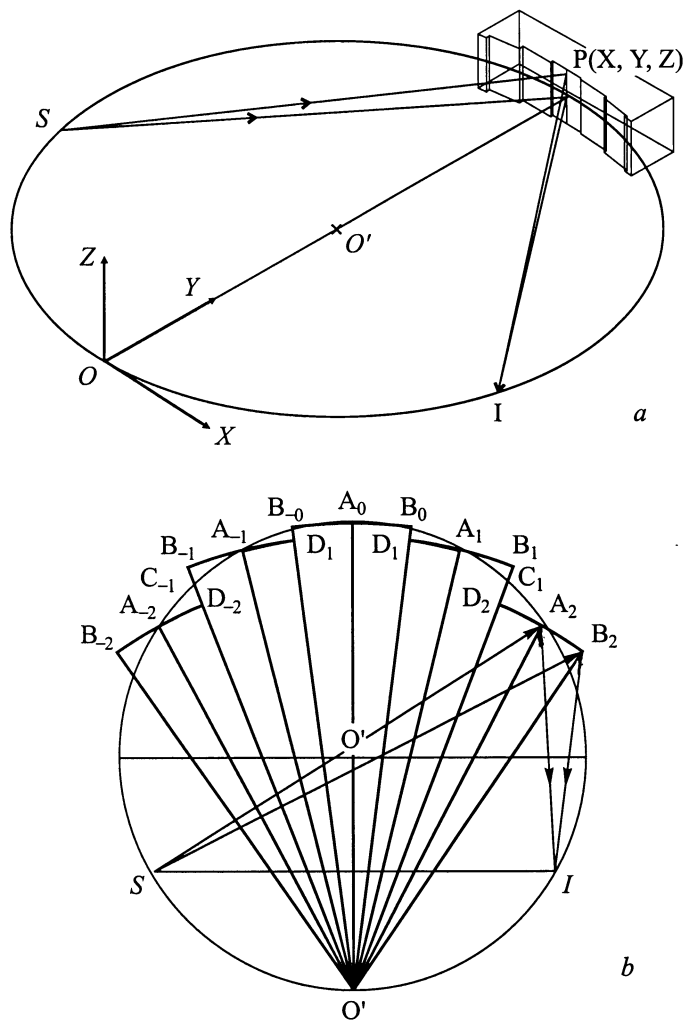
Для разложения рентгеновского излучения в спектр с одновременной фокусировкой используются изогнутые (цилиндрические или сферические) совершенные кристаллы [1–3]. Методы, использующие цилиндрически изогнутый кристалл, были впервые рассмотрены достаточно давно [4–8]. Для излучения, генерируемого в малом объеме, т. е. точечного источника, фокусирующие методы позволяют получать высокое спектральное разрешение. Под разрешающей силой принято понимать безразмерную величину отношения  $E/\Delta E$  или  $\lambda/\Delta\lambda$ , где  $E$  — энергия рентгеновского кванта, а  $\lambda$  — длина волны излучения. Если  $\theta$  — угол Брегга между падающим лучом и соответствующей атомной плоскостью кристалла, то из закона Брегга следует, что допустимая величина варьирования угла Брегга  $\Delta\theta$  определяет разрешение  $\lambda/\Delta\lambda = \operatorname{tg}\theta/\Delta\theta$  и зависит от следующих факторов: мозаичного несовершенства используемого кристалла, метода разложения рентгеновского излучения в спектр, размера отражающей брегговской поверхности кристалла — дифрактора. Под брегговской (дифракционной)

зоной отражения понимают совокупность точек кристаллографической поверхности, для которых при заданном интервале значений длин волн  $\lambda - \Delta\lambda \leq \lambda \leq \lambda + \Delta\lambda$  угол Брегга находится в пределах  $\theta - \Delta\theta \leq \theta \leq \theta + \Delta\theta$ .

Чем больше величина  $\Delta\theta$ , тем больше площадь дифракционной зоны и, как следствие, больше величина апертуры и соответственно выше интенсивность получаемых спектров. Однако обычно желательно обеспечить одновременно с высокой интенсивностью и высокое спектральное разрешение (ассоциируемое с малой отражающей площадью кристалла). Оба условия могут быть выполнены в случае использования нескольких кристаллов. Ряд работ [9–11] посвящен принципам создания ступенчатого дифрактора, каждая ступень которого представляет собой отдельный изогнутый кристалл. В работе [10] впервые предложен вариант светосильного псевдосферического ступенчатого рентгеновского дифрактора, удовлетворяющего условию высокого спектрального разрешения. Последнее условие достигается при постоянной угловой ширине ( $\Delta\varphi = \text{const}$ ) для каждой из ступенек. Нами [12,13] был разработан алгоритм компьютерного моделирования дифракционных зон для кристаллов с различной формой кривизны поверхности (цилиндрической, эллипсоидальной, тороидальной и т.д.). В настоящей работе проведены систематический анализ возможных моделей ступенчатых рентгеновских дифракторов, позволяющих достичь высокого разрешения в спектроскопии, а также исследование зависимости максимальной апертуры от разрешающей способности дифрактора.

На рис. 1, *a* изображен псевдосферический ступенчатый дифрактор, аналогичный тому, что предложен нами в [10,11], а также оптическая схема соответствующего фокусирующего спектрометра. На рис. 1, *b* схематично показано сечение этого дифрактора плоскостью круга фокусировки с центром в точке  $O'$ . Окружность фокусировки, расположенная в горизонтальной плоскости, проходит через точку  $S$ , где находится источник излучения, точку  $A_0$  — вершину дифрактора (сердину центральной ступеньки) и точку  $I$  — место положения детектора. Сечение каждой ступеньки плоскостью круга фокусировки представляет собой дугу окружности радиуса  $R_i = OA_i$  ( $R_i = R_{-i}$ ), причем  $A_iB_i = A_iD_i$ , где  $i = -N, -(N-1), \dots, 0, \dots, N-1, N$ . Введем обозначения:

$$\begin{aligned} \alpha_i &= \angle A_0OA_i, & \beta_i &= \angle A_0OB_i, & \Delta\varphi_i &= |\beta_i - \alpha_i|, \\ \Delta\theta_i &= \angle A_iSB_i, & \omega &= \angle B_{-N}OB_N. \end{aligned} \quad (1)$$



**Рис. 1.** Рентгено-оптическая схема фокусировки и разложения в спектр излучения.  $XYZ$ -системы отсчета;  $O', O$  — центры круга фокусировки и кривизны ступенек соответственно;  $S, I$  — положение источника излучения и его изображения.

Угол  $\alpha_i$  определяет положение центра,  $|\beta_i - \alpha_i|$  — угловую полуширину  $i$ -й ступеньки на окружности фокусировки,  $\omega$ -полную угловую ширину дифрактора.

Очевидно, что в центр каждой ступеньки излучение падает под одним и тем же углом к касательной. Именно этот угол называют углом Брегга  $\theta$ . Обозначим через  $\pm\Delta\theta_i$  диапазон варьирования угла Брегга, обусловленный конечной угловой полушириной  $\Delta\varphi_i$   $i$ -й ступеньки. В спектроскопии значение  $\Delta\theta_i$  не превышает  $10^{-2}$  рад. Легко записать приближенную формулу, связывающую эти величины.

$$\Delta\varphi_i \approx \frac{\operatorname{tg} \theta + \operatorname{tg} \alpha_i}{\operatorname{tg} \theta} \Delta\theta_i = \left[ 1 + \frac{\operatorname{tg} \alpha_i}{\operatorname{tg} \theta} \right] \Delta\theta_i. \quad (2)$$

Наибольшее значение  $\Delta\theta_i$  задает величину спектрального разрешения дифрактора. Рассмотрим три модели построения ступенчатого дифрактора и сравним их с точки зрения предельно возможной апертуры и спектральной разрешающей силы.

В первой модели, предложенной нами в работе [10], используются ступени одинаковой угловой ширины, т.е.  $\Delta\varphi_i = \operatorname{const}(i)$ . Угол  $\omega$  с вершиной в точке  $O$  разбивается на  $2N + 1$  равных частей (рис. 1, *b*). Полуширина каждой ступеньки определяется из равенства (3):

$$\Delta\varphi_i = \frac{\omega}{2(2N + 1)}. \quad (3)$$

Полная апертура дифрактора (и соответственно интегральный выход излучения) равна сумме апертур отдельных ступенек. Середина каждой из них, лежащая на окружности фокусировки, определяется углом  $\alpha_i$  и радиусом  $R_i$  в полярных координатах с центром в точке  $O$ :

$$\alpha_i = \frac{\omega \times i}{2N + 1}, \quad R_i = R_0 \cos \alpha_i. \quad (4)$$

Угол  $\theta$  определяется положением точки  $S$  на окружности. Соответствующий максимально возможный размер  $\omega$  ступенчатого дифрактора не может превышать величину  $2\theta$ . Обозначим через  $H$  высоту дифрактора вдоль оси  $Z$ ,  $L_i = D_i B_i$ . Апертуру каждой ступеньки можно представить в виде

$$\Omega_i = \frac{H \times L_i}{SA_i^2} \sin \theta. \quad (5)$$

Тогда полная апертура дифрактора, имеющего  $(2N + 1)$ -ступеней, определяется уравнением:

$$\Omega = \frac{\omega \times H \sin \theta}{R_0(2N + 1)} \sum_{i=-N}^{i=N} \frac{\cos \alpha_i}{\sin^2(\theta + \alpha_i)}. \quad (6)$$

В пределе (при  $E/\Delta E \rightarrow \infty$ ) имеет место следующий определенный интеграл:

$$\begin{aligned} \Omega &= \frac{H \sin \theta}{R_0} \int_{-\omega/2}^{\omega/2} \frac{\cos \alpha}{\sin^2(\theta + \alpha)} d\alpha \\ &= \frac{H \sin \theta}{R_0} \left[ \frac{\cos \theta}{\sin(\theta + \alpha)} + \frac{\sin \theta}{2} \ln \left( \frac{1 + \cos(\theta + \alpha)}{1 - \cos(\theta + \alpha)} \right) \right]_{\omega/2}^{-\omega/2}. \quad (7) \end{aligned}$$

Расчеты показывают, что значения апертур, полученные по формулам (6) и (7), точно совпадают.

Во второй модели, предложенной в работе [9], рассматривается постоянная величина шага между ступеньками  $st = R_i - R_{i+1}$ . Для  $i > 0$  принятых нами обозначениях получаются следующие выражения для углов:

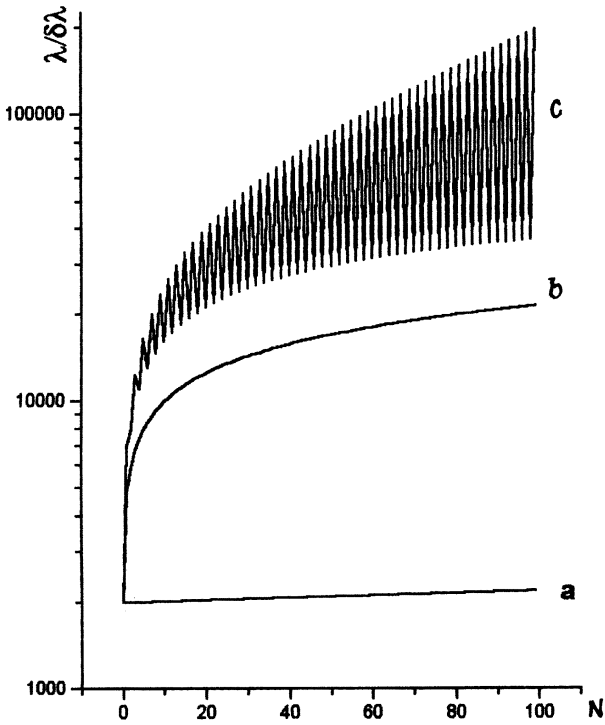
$$\alpha_i = \arccos(1 - i(st/R_0)), \quad (8)$$

$$\Delta\varphi_i = \arccos(1 - i(st/R_0))$$

$$- 2 \sum_{k=1}^{k=i-1} (-1)^k \arccos(1 - k(st/R_0)) + (-1)^i \beta_0. \quad (9)$$

При некоторых значениях параметров  $st$  и  $\beta_0$  величина  $\Delta\varphi_i$  (на  $i$ -м шаге построения) может получиться отрицательной. Из рис. 1, *b* видно, что такое решение невозможно. Из геометрических соображений  $\Delta\varphi = \beta_i - \alpha_i$  и  $\beta_i > \alpha_i$ . Таким образом, построение дифрактора в рамках этой модели для произвольной величины разрешающей силы невозможно, поскольку последняя определяется параметром  $\beta_0$ .

Рассмотрим еще один (третий, "симметричный") вариант ступенчатого дифрактора. Его принцип построения состоит в следующем. Полуширина нулевой ступеньки ограничена  $\Delta\varphi_0 \leq \Delta\theta = (\Delta\lambda/\lambda) \operatorname{tg} \theta$ .



**Рис. 2.** Графики зависимостей разрешающей силы  $\lambda/\Delta\lambda$  от номера  $N$  ступеньки для различных моделей рентгеновского дифрактора:  $a$  —  $\Delta\varphi$ -const;  $b$  — симметричная модель;  $c$  —  $st$ -const.

Начальные значения углов  $\alpha_0 = 0$ ,  $\beta_0 = \Delta\varphi_0$ . Требуется, чтобы  $B_i C_i = C_i D_{i+1}$  и соответственно  $D_i A_i = A_i B_i$ . Два уравнения определяют связь между углами

$$\cos \alpha_{i+1} = 2 \cos \beta_i - \cos \alpha_i, \quad \beta_{i+1} = 2\alpha_{i+1} - \beta_i. \quad (10)$$

Легко доказать, что при этом варианте построения дифрактора  $\Delta\varphi_{i+1} < \Delta\varphi_i$ , т.е. спектральное разрешение для каждой последующей ступени выше, чем для предыдущей. Следовательно, полное разрешение определяется только разрешением центральной ступени и не умень-

шается при увеличении числа ступеней. Поэтому в данной модели увеличение числа ступенек приводит к увеличению спектрального выхода без ухудшения разрешения. Таким образом, выполняется условие  $\Delta\varphi_i < \Delta\theta$ , что и обеспечивает для всего дифрактора заданное разрешение. При этом общее количество ступенек определяется условием  $|\beta_N| \leq \omega/2$ . В этой модели апертура дифрактора может быть рассчитана следующим образом:

$$\Omega = \frac{H \sin \theta}{R_0} \left[ \Delta\varphi_0 + 2 \sum_{i=1}^{i=N} \frac{(\beta_i - \alpha_i) \cos \alpha_i}{\sin^2(\theta + \alpha_i)} \right]. \quad (11)$$

На рис. 2 изображены значения разрешающей силы для каждой ступеньки дифрактора. В любой модели общая для всего дифрактора разрешающая сила равна наименьшему из всех значений. Расчеты проведены для  $R_0 = 320 \text{ mm}$ ,  $\theta = 60^\circ$ . Очевидно, что для реального дифрактора, содержащего 3–5 ступенек, различия между моделями представляются мало существенными. Однако в первой ( $\Delta\varphi = \text{const}$ ) и третьей (симметричный вариант) моделях для любой сколь угодно близкой к предельной величине, определяемой спектральными свойствами (кривой качания) используемого кристалла, можно выполнить построение ступенчатой поверхности дифрактора и при этом достичь максимально возможной апертуры. В то же время для модели  $st = \text{const}$  такое построение возможно не всегда. При фиксированном параметре  $\beta_0$  величина  $st$  должна попадать в интервал, составляющий примерно 1% от абсолютного значения, которое обеспечивает  $\Delta\varphi_i > 0$ . За пределами этого интервала построение прекращается уже на первых ступеньках. Таким образом, наиболее стабильными являются модели первая и третья.

## Список литературы

- [1] *Bonnelle C., Mande C.* Advances in x-ray spectroscopy. Oxford and New York: Pergamon Press, 1982. 423 p.
- [2] *Freund A.K.* X-ray Optics. Grenoble: ESRF, 1987. 54 p.
- [3] *Michette A.G.* Optical System for Soft X ray. New York: Plenum Press, 1986. 351 p.
- [4] *DuMond J.W.M., Kirpatrick A.* // Rev. Sci. Instrum. 1930. V. 1. P. 88.
- [5] *Johann H.H.* // Z. Phys. 1931. V. 69. P. 185.

- [6] *Cauchois Y.* // *Phys. Radium.* 1932. V. 3. P. 320.
- [7] *Von Hamos I.* // *Naturwiss.* 1932. V. 20. P. 705.
- [8] *Johannson T.* // *Z. Phys.* 1933. V. 82. P. 507.
- [9] *Wittry D.B., Sun S.J.* // *Appl. Phys.* 1991. V. 69. N 7. P. 3886–3892.
- [10] *Marcelli A., Soldatov A.V., Mazuritsky M.I.* European Patent Nr. 97830282.6–2208, deposited by INFN on 06/11/97, published on 12/16/98.
- [11] *Marcelli A., Mazuritsky M.I., Soldatov A.V.* // *SPIE proceedings.* Wash. 1998. V. 3448. P. 210–217.
- [12] *Мазурицкий М.И., Солдатов А.В., Латуш Е.М.* и др. // *Письма в ЖТФ.* 1999. Т. 25. В. 19. С. 11–16.
- [13] *Рабочий вариант* программы, написанной среде DELPHI, можно найти в Интернете по адресу <http://www.projectx.aanet.ru>